

# تولید و بهینه سازی پوشش نانو کامپوزیتی زمینه فلزی به روش رسوب گذاری الکتریکی

فاطمه سادات سیدان، مرضیه اسحاقیان و مریم کرباسی

دانشکده مهندسی مواد، دانشگاه صنعتی اصفهان

(دریافت مقاله: ۹۱/۰۶/۱۰ - پذیرش مقاله: ۹۲/۰۳/۰۶)

## چکیده

آبکاری کامپوزیتی روشنی برای رسوب هم زمان ذرات کوچک سرامیکی در لایه فلزی رسوب یافته است که می‌تواند منجر به بهبود خواص سطحی مانند سختی شود. در میان فرایندهای تولید نانو کامپوزیت‌ها، روش رسوب گذاری الکتریکی دارای مزایایی از جمله هزینه کم تجهیزات اولیه، سرعت بالای تولید، امکان صنعتی سازی و دمای کاری پایین است. در پژوهش حاضر، تولید پوشش نانوساختار Ni-Fe(Ti,W)C با استفاده از روش رسوب گذاری الکتریکی مورد بررسی قرار گرفت و تأثیر پارامترهای مهمی نظیر جنس زیرلایه و چگالی جریان بر روی خواص پوشش‌ها ارزیابی گردید. در این راستا از یک حمام نیکلی تحت شرایط جریان مستقیم استفاده شد. براساس نتایج به دست آمده از مشخصه‌یابی پوشش‌ها توسط روش‌های پراش پرتو ایکس (XRD)، میکروسکوپ الکترونی روشنی (SEM)، آنالیز عنصری با تقسیم اثری پرتو ایکس (EDS) و ریزساختی سنجی مشخص شد که رسوب گذاری Ni-Fe(Ti,W)C به روشنی تولید قابل تولید بود و زیر لایه فولادی نسبت به برنجی، جهت رسوب گذاری کاربید مضاعف با زمینه Ni-Fe که مشخصات مغناطیسی از خود نشان می‌دهد، مناسب‌تر می‌باشد. همچنین با بهینه سازی چگالی جریان، مورفلوژی سطحی صاف‌تر شد و ریزساختی تا ۱۷۵۰ ویکرز افزایش و اندازه دانه تا ۲۷ نانومتر کاهش یافت.

واژه‌های کلیدی: رسوب گذاری الکتریکی، Ni-Fe(Ti,W)C، چگالی جریان، ریزساختی، مورفلوژی

## Production and Optimization of Ni-Fe(Ti,W)C Nanocomposite Coating by Electroplating Process

F.S. Sayedan, M. Eshaghian and M. Karbasi

Department of Materials Engineering, Isfahan University of Technology

(Received 31 August 2012, accepted 27 May 2013)

### Abstract

Composite electroplating is a method for simultaneous plating of small ceramic particles in the plated metallic layer, in order to develop the morphology and mechanical properties. The electroplating method possesses many advantages such as low first cost, high speed of production, the possibility scaling up to industrial technologies and low service temperature. In this study, production of nano structural metal matrix composite "Ni-Fe(Ti,W)C" is investigated by electroplating method and the effect of important parameters such as substrate material and current density on coating properties, is evaluated. For this purpose, nickel bath was used under the condition of direct current. Based on the obtained results from characterizing the coating by X-ray diffraction (XRD), Scanning electron microscopy (SEM) and Energy Dispersive X-ray spectroscopy (EDS), it was recognized that nano structure composite Ni-Fe(Ti,W)C is producible and the steel substrate is appropriate than brass substrate with magnetic Ni-Fe matrix for electroplating of double carbide. Also with improvement of current density, surface morphology was more smooth, the microhardness was increased to 1750 HV and the grain size was decreased to 27 nm.

**Key words:** electroplating, Ni-Fe(Ti,W)C, current density, microhardness, morphology

**E-mail of corresponding author:** Niloofaraneh\_fs@yahoo.com

اسپری حرارتی [۷] و PVD [۸] انجام می شود که طی آن اکسیداسیون شدیدی می تواند اتفاق بیفتد، در حالی که استفاده از روش های الکتروشیمیایی ضمن سادگی سیستم و عدم نیاز به دستگاه های پیچید، مشکل اکسیداسیون نیز وجود نخواهد داشت. عدم آلودگی محیط زیست، سرعت تولید بالا و قابلیت کنترل از مزایای دیگر این روش تولید پوشش می باشد [۹].

هدف از پژوهش حاضر، بهینه سازی چگالی جریان به منظور ایجاد شرایط بهینه جهت تولید پوشش نانو کامپوزیتی Ni-Fe(Ti,W)C بر روی زیر لایه مناسب می باشد.

## مواد و روش تحقیق

مشخصات حمام پوشش دهنده در جدول ۱ ارائه شده است.

جدول ۱. مشخصات حمام پوشش دهنده بر روی زیر لایه های فولادی و برنجی.

شرکت سازنده	مقدار	ترکیب حمام پوشش دهنده
KIMIA MAVAD	45g/l	NiCl <sub>2</sub> .6H <sub>2</sub> O
MERCK	40g/l	H <sub>3</sub> BO <sub>3</sub>
MERCK	1.5g/250ml	Fe(Ti,W)C

در عملیات پوشش دهنده ابتدا زیر لایه های فولادی و برنجی هر کدام در ابعاد ۲×۲cm برش خورده و مانت سرد شدند و به منظور برقراری جریان الکتریکی در حین پوشش دهنده، به یک سیم مسی متصل شدند و به عنوان کاتد مورد استفاده قرار گرفتند. جهت آماده سازی سطح زیر لایه ها قبل از پوشش دهنده، سنباده زنی و ایجاد زبری به منظور چسبیدگی بیشتر انجام گرفت. در مرحله بعد سطح زیر لایه ها ابتدا به مدت ۱۰ دقیقه به منظور چربی زدایی در اتanol و سپس به مدت ۲۰ ثانیه به منظور فعال سازی در اسید کلریدیک ۱۵٪ قرار گرفت و بالا فاصله با آب مقطر شست و شو داده شده و در حمام

## مقدمه

یکی از بهترین روش های تولید پوشش نیکل و آلیاژ های رسوب گذاری الکتریکی است که علت آن، ایجاد ساختار نانو کریستالی و درنهایت دستیابی به خواص مطلوبتر از جمله نرخ خوردگی کمتر، سختی و مقاومت به سایش بالاتر نسبت به پوشش های میکرو کریستال می باشد [۱۰]. پوشش های کامپوزیتی از جمله پوشش های پیشرفته ای هستند که به لحاظ خواص منحصر به فردی مانند مقاومت به سایش و خوردگی، سختی بالا و پایداری حرارتی در سال های اخیر مورد توجه قرار گرفته اند. برای تولید این پوشش ها بر حسب جنس زیر لایه، زمینه پوشش و فاز دوم و هم چنین نوع کاربرد آنها انواع روش های سنتی و مدرن به کار می رود [۳]. پوشش های کامپوزیتی در سال های اخیر برای بسیاری از کاربردها همانند قطعات ساینده برشی، مته های دندانپزشکی و غیره توسعه یافته اند. این نوع کامپوزیت ها که به صورت یک لایه روی زمینه اصلی پوشش داده می شوند، عموماً شامل ذرات سختی مانند کاربیدها، اکسیدها و الماس می باشند، که به منظور بهبود خواص مکانیکی پوشش از آنها استفاده می شود [۴].

با بررسی نتایج تحقیقات صورت گرفته بر روی پوشش نیکل، بهبود خواص این پوشش با افزودن کالت یا تنگستن مشاهده شده است. استفاده از تنگستن در پوشش نیکل باعث بهبود خواصی نظری خصوصیات مغناطیسی، الکتریکی، سایشی، مقاومت به خوردگی، کاهش اندازه دانه، پایداری حرارتی و سختی بالا شده است [۵]. همچنین تحقیقات صورت گرفته بر روی خاصیت مغناطیسی ذرات آهن نشان داده است که هرگاه ذرات در ابعاد نانو در آیند، حتی در غیاب میدان مغناطیسی نیز خاصیت مغناطیسی داشته که به این رفتار آنها رفتار سوپر پارامغناطیس اطلاق می شود. به همین دلیل نقش عمدۀ Fe در پوشش های Ni-Fe تقویت خاصیت مغناطیسی و در نتیجه بهبود پیوستگی بین زمینه و پوشش می باشد [۶]. پوشش قطعات صنعتی با مواد کامپوزیتی عموماً از روش های

مورفولوژی سطح پوشش‌ها توسط میکروسکوپ الکترونی روبشی (SEM) مدل Philips XL 30 و ارزیابی کامپوزیت تولیدی توسط آزمون طیف‌سنگی توزیع انرژی (EDS) انجام گرفت.

جدول ۳. پارامترهای متغیر در طی آزمایش‌های انجام شده

۴	۳	۲	۱	شماره نمونه
فولادی	فولادی	فولادی	برنجی	نوع زیر لایه
۲۰	۴۰	۱۵۰	۱۵۰	چگالی جریان (mA/cm <sup>2</sup> )
۱۳۵۰۰	۶۷۵۰	۱۸۰۰	۱۸۰۰	زمان (ثانیه)

مورفولوژی سطح پوشش‌ها توسط میکروسکوپ الکترونی روبشی (SEM) مدل Philips XL 30 و ارزیابی کامپوزیت تولیدی توسط آزمون طیف‌سنگی توزیع انرژی (EDS) انجام گرفت. به منظور بررسی ریزساختی پوشش‌های نانو کامپوزیتی Ni-Fe(Ti,W)C از دستگاه ریزساختی سنج مدل Leit 7 با بار اعمالی ۵۰ گرم و زمان توقف ۱۰ ثانیه استفاده شد. بررسی فازی پوشش‌ها به روش پراش پرتو ایکس (XRD) انجام گرفت. همچنین تعیین اندازه دانه‌ها با استفاده از پهنهای پیک‌ها در نمودارهای پراش پرتو ایکس انجام شد. بدین منظور با توجه به عدم انجام کار مکانیکی بر روی سطح پوشش‌ها از رابطه شرکه به صورت معادله (۱) بوده و ارتباط بین پهنهای پیک‌های XRD و اندازه دانه‌ها را به صورت تخمینی به دست می‌دهد، استفاده شده است.

$$D = \frac{0.9\lambda}{\beta \cos \theta} \quad (1)$$

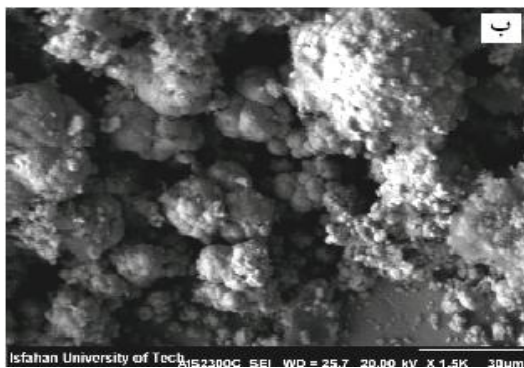
که در این معادله،  $D$  اندازه متوسط دانه بر حسب نانومتر،  $\lambda$  طول موج پرتو ایکس استفاده شده بر حسب نانومتر،  $\beta$

قرار گرفت. حمام پوشش دهی با حجم ۲۵۰ ml پس از آماده سازی به مدت ۲۴ ساعت استراحت داده شد و به دلیل تمایل ذرات کامپوزیتساز به ته نشینی بالای آن، محلول قبل از پوشش دهی به مدت ۳۰ دقیقه آلتراسونیک شد. تنظیم pH محلول توسط آمونیاک و اسید سولفوریک ۹۸٪ رقیق شده با استفاده از pH متر دیجیتالی (Metrohm، سوئیس) صورت گرفت. به دلیل حضور ذرات نانومتری آهن با خاصیت سوپر پارامغناطیس در محلول پوشش دهی و در نتیجه عدم امکان استفاده از همزن مغناطیسی جهت ایجاد تلاطم در محلول حین پوشش دهی و جلوگیری از تشکیل ذرات رسوبی و ته نشینی در آن از گاز آرگون با فشار کم استفاده شد. پوشش دهی به روش جریان مستقیم با استفاده از دستگاه کولومتر دیجیتالی مدل BHP 2050 ساخت شرکت Behpajooch در دمای ۵۰°C و کولن ۲۷ انجام شد. شرایط پوشش دهی به طور خلاصه در جدول ۲ ارائه شده است.

جدول ۲. شرایط پوشش دهی.

مستقیم	نوع جریان
۵۰±۲	دما (درجه سانتیگراد)
۴/۴±۰/۱	pH
۲۷	کولن
نیکل	آند
فولاد / برنج	کاتد

پس از پوشش دهی نمونه‌ها، سطح آنها توسط اتانول مورد شست و شو قرار گرفت. پارامترهای در نظر گرفته شده در طی آزمایش‌های انجام شده با غلاظت کاربید مضاعف L g/6 در جدول ۳ ارائه شده است.



ادame شکل ۱.

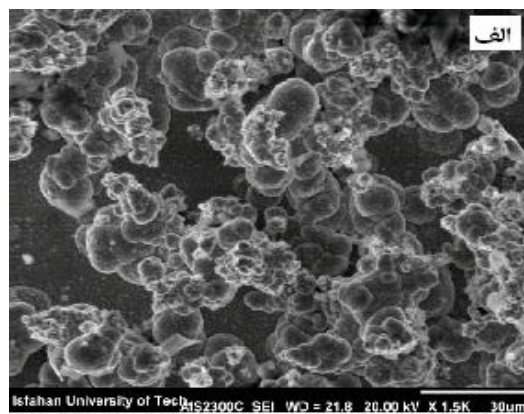
در شکل ۲ نتایج آنالیز EDS پوشش‌های مورد بحث نشان داده شده است. با مقایسه نتایج مشخص می‌گردد که درصد عناصر کربن، تنگستن و تیتانیوم در پوشش اعمال شده بر روی زیر لایه فولادی (شکل ۲-الف) بیشتر از پوشش ایجاد شده بر روی زیر لایه برنجی (شکل ۲-ب) می‌باشد که می‌تواند نشانگر این موضوع باشد که میزان رسوب کاربید مضاعف در پوشش اعمال شده بر روی زیر لایه فولادی بیشتر است. همان‌طور که قبل اشاره شد، این امر می‌تواند ناشی از خاصیت مغناطیسی در هنگام استفاده از زیر لایه فولادی که باعث جذب فاز پایه و به دنبال آن رسوب بیشتر ذرات به همراه یون‌های نیکل و آهن یعنی Ni-Fe می‌گردد، باشد [۱۰].

تصاویر شکل ۳ از پوشش‌های تولید شده بر روی زیر لایه فولادی در چگالی جریان‌های مختلف توسط میکروسکوپ الکترونی روبشی تهیه شده است. با مقایسه تصاویر شکل (۳-الف، ۳-ب و ۳-ج) مشخص می‌گردد که در یک مقدار ثابت کاربید مضاعف، با کاهش چگالی جریان، پوشش از مورفولوژی صافتر و پیوستگی و اتصال مناسب‌تری برخوردار است، چرا که با افزایش چگالی جریان، سرعت رسوب گذاری کاربید مضاعف افزایش یافته و بنابراین ساختار دندانی حاصل می‌شود. به عبارتی، در چگالی جریان‌های کمتر، سرعت رشد جوانه‌ها تقریباً یکسان بوده و مورفولوژی یکنواخت‌تری حاصل می‌گردد که این موضوع توسط ابراهیمی و همکارانش نیز گزارش شده است [۱۱].

پهنه‌ای پیک بر حسب رادیان و  $\theta$  زاویه و قوع پیک (زاویه پراش) بر حسب رادیان می‌باشد.

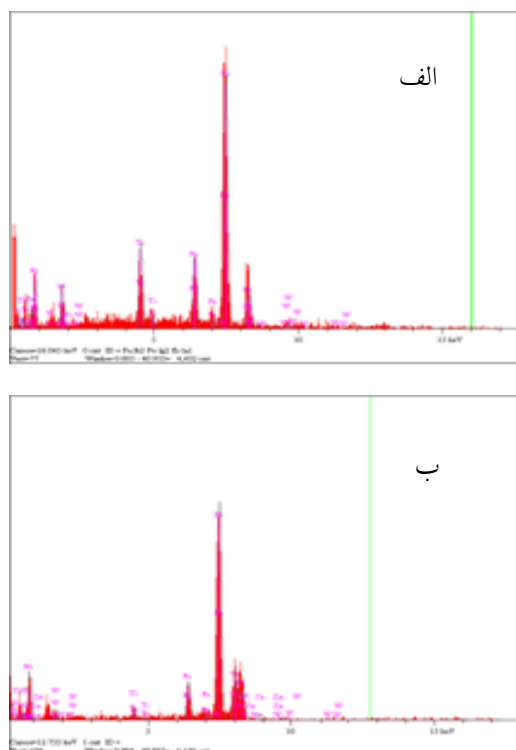
### بحث و نتیجه

در تصاویر شکل ۱ میکروگراف SE-SEM تهیه شده از پوشش‌های تولید شده با چگالی جریان  $150 \text{ mA/cm}^2$  و مقدار  $6 \text{ g/L}$  کاربید مضاعف، بر روی دو زیر لایه فولادی (شکل ۱-الف) و برنجی (شکل ۱-ب) نشان داده شده است. با مقایسه تصاویر شکل ۱ مشاهده می‌گردد که پوشش بر روی زیر لایه برنجی بسیار متخلخل بوده و از تراکم، پیوستگی و اتصال مناسب بر خوردار نیست. به عبارت دیگر، پوشش بر روی زیر لایه برنجی کاملاً به حالت اسفنجی درآمده در حالی که پوشش اعمال شده بر روی زیر لایه فولادی از پیوستگی و تراکم بیشتری برخوردار است که این پدیده می‌تواند ناشی از عملکرد خاصیت مغناطیسی در هنگام استفاده از زیر لایه فولادی باشد، چرا که خاصیت مغناطیسی باعث جذب فاز پایه  $\text{Ni-Fe}$  می‌شود که منجر به تراکم بیشتر و پیوستگی بالاتر پوشش ورفع حالت اسفنجی می‌گردد، در حالی که در پوششی که روی زیر لایه برنجی اعمال شده به دلیل فقدان خاصیت مغناطیسی، پوشش کاملاً به حالت اسفنجی درآمده است که این رفتار توسط ریکه و همکارانش نیز گزارش شده است [۱۰].



شکل ۱. تصاویر SE-SEM از پوشش‌های تولید شده در دانسیته جریان  $150 \text{ mA/cm}^2$  و مقدار کاربید  $6 \text{ g/L}$  Fe-(Ti,W)C برابر با بزرگنمایی  $1500$  (الف) زیر لایه فولادی (ب) زیر لایه برنجی.

Elt.	Line	Intensity (c/s)	Atomic %	Conc	Units	
C	Ka	0.30	10.23	2.20	wt.%	
Ti	Ka	0.91	1.02	1.88	wt.%	
Fe	Ka	6.37	6.88	6.87	wt.%	
Ni	Ka	39.56	80.01	83.97	wt.%	
W	La	0.42	1.85	6.08	wt.%	
		100.00	100.00	wt.%	Total	

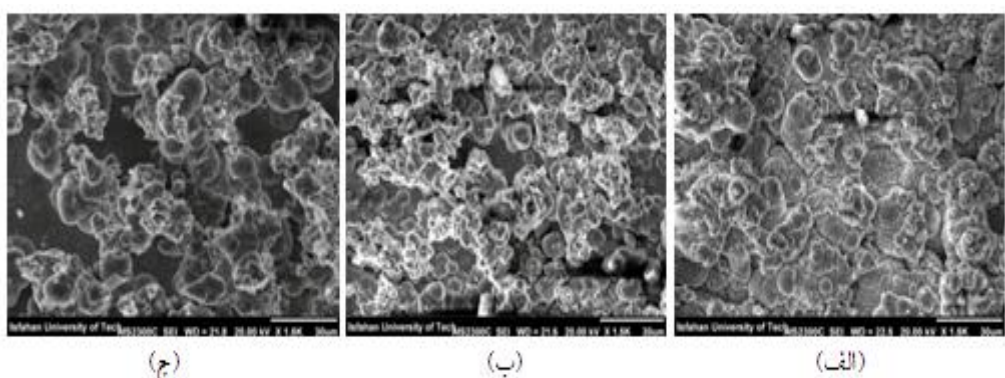


شکل ۲. نتایج آنالیز EDS پوشش های تولید شده در دانسیته جریان ( $150 \text{ mA/cm}^2$ ) و مقدار کاربید مضاعف  $6 \text{ g/L}$  بر روی

(الف) زیرلایه فولادی (ب) زیرلایه برنجی.

افزایش جوانهزنی و صاف تر کردن مورفولوژی سطحی با استفاده از عوامل اصلاح کننده سطح مثل ساخارین امکان پذیراست. همچنین استفاده از یک عملیات فرم دهی مثل انواع نورد در حالتی که محصول تولیدی به صورت ورق باشد نیز می تواند برای صاف تر کردن مورفولوژی سطحی مؤثر باشد [۱۲].

از طرفی با افزایش چگالی جریان، سرعت تولید پوشش افزایش می یابد. بنابراین اگر رسوب گذاری در چگالی جریان های بالا مورد نظر باشد، لازم است از عوامل جوانهزا استفاده نمود. پس در چگالی جریان بالاتر، علاوه بر رشد، جوانهزنی هم لازم است و بنابراین نیاز بیشتری به عوامل جوانهزا وجود دارد.



شکل ۳. تصاویر SE-SEM از پوشش تولید شده بر روی زیرلایه فولادی با بزرگنمایی  $150$  در چگالی جریان (الف) چگالی جریان ( $40 \text{ mA/cm}^2$ ) (ب) چگالی جریان ( $20 \text{ mA/cm}^2$ ) (ج) چگالی جریان ( $150 \text{ mA/cm}^2$ )

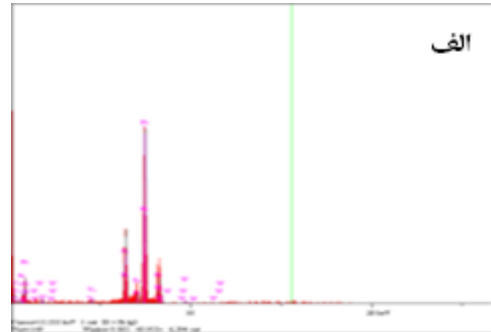
ضریب K مساوی جرم ماده آزاد شده توسط بار C، یا به عبارت دیگر جرم ماده آزاد شده توسط جریان A در مدت زمان ۱ ثانیه است. مطابق معادله ۲،  $m$  مناسب با I می باشد. به عبارت دیگر هرچه چگالی جریان بالاتر باشد، یون های حامل عامل کامپوزیت ساز در محلول بیشتر شده و بنابراین جرم رسوب کرده افزایش می یابد. با افزایش بیشتر چگالی جریان از  $40\text{mA/cm}^2$  به  $150\text{mA/cm}^2$ ، عکس این پدیده مشاهده می شود، زیرا در چگالی جریان های بسیار بالا، سرعت رسوب گذاری نیکل بیشتر بوده و گنجایش برای پذیرش کاربید مضاعف در زمینه کمتر می گردد و درصد رسوب کاربید مضاعف روی زمینه Ni-Fe کاهش می یابد [۱۳].

با مقایسه نتایج حاصل از آنالیز EDS پوشش هایی که در شکل (۴-الف، ۴-ب و ۴-ج) ارائه شده است، مشخص می گردد که با افزایش چگالی جریان از  $20\text{mA/cm}^2$  به  $40\text{mA/cm}^2$ ، درصد رسوب کامپوزیت افزایش می یابد که این امر مطابق رابطه قانون اول فارادی (معادله ۲) قابل بررسی است :

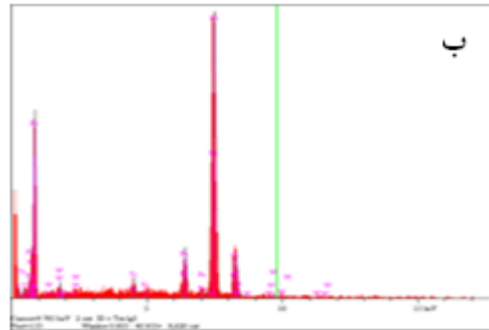
$$m = Kq = KIt \quad (2)$$

که در این معادله،  $m$  جرم ماده رسوب کرده، I جریان الکتریکی، t زمان الکترولیز، q بار کلی و K ضریب تناسب (هم ارز الکتروشیمیایی ماده) می باشد. با فرض اینکه  $q=1\text{C}$  (بار کل یک کولن) باشد، درمی یابیم که

Elt.	Line	Intensity (c/s)	Atomic %	Conc	Units	
C	Ka	0.40	26.08	6.39	wt.%	
Ti	Ka	0.27	0.62	0.60	wt.%	
Fe	Ka	5.31	13.59	15.47	wt.%	
Ni	Ka	13.71	57.33	68.61	wt.%	
W	La	0.27	2.38	8.92	wt.%	
			100.00	100.00	wt.%	Total

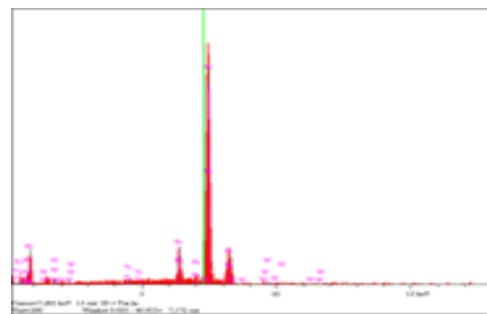


Elt.	Line	Intensity (c/s)	Atomic %	Conc	Units	
C	Ka	1.14	19.70	4.49	wt.%	
Ti	Ka	3.69	2.26	2.05	wt.%	
Fe	Ka	10.59	6.43	6.81	wt.%	
Ni	Ka	64.05	68.71	76.50	wt.%	
W	La	1.25	2.91	10.15	wt.%	
			100.00	100.00	wt.%	Total



شکل ۴. آنالیز EDS از پوشش تولید شده بر روی زیرلايه فولادی با مقدار کاربید مضاعف ۶ g/L (الف) چگالی جریان ( $20\text{mA/cm}^2$ ) (ب) چگالی جریان ( $40\text{mA/cm}^2$ ) (ج) چگالی جریان ( $150\text{mA/cm}^2$ )

Elt.	Line	Intensity (c/s)	Atomic %	Conc	Units	
C	Ka	0.30	10.23	2.20	wt.%	
Ti	Ka	0.91	1.02	1.88	wt.%	
Fe	Ka	6.37	6.88	6.87	wt.%	
Ni	Ka	39.56	80.01	83.97	wt.%	
W	La	0.42	1.85	6.08	wt.%	
		100.00	100.00	wt.%	Total	



ادامه شکل ۴.

الکتریکی نانو کریستالی نیکل را به همراه خواهد داشت [۱۱].

جدول ۴. ریزسختی و اندازه دانه نمونه های پوشش داده شده بر روی زیرلایه فولادی با جرم کاربید مضاعف  $6 \text{ g/L}$ .

۲۰	۴۰	۱۵۰	چگالی جریان ( $\text{mA/Cm}^2$ )
۱۵۰۰	۱۷۵۰	۱۳۲۰	ریزسختی (ویکرز)
۳۵	۲۷	۳۰	اندازه دانه (nm)

### نتیجه گیری

پوشش نانو کامپوزیتی Ni-Fe(Ti,W)C بر روی زیرلایه فولادی به روش رسوب گذاری الکتریکی قابل تولید می باشد و زیرلایه فولادی نسبت به برنجی جهت رسوب گذاری پوشش فوق مناسب تر است. چگالی جریان Ni-Fe(Ti,W)C بهینه برای رسوب گذاری نانو کامپوزیت  $6 \text{ g/L}$  بر روی زیرلایه فولادی با مقدار کاربید مضاعف  $40 \text{ mA/Cm}^2$  می باشد. در چگالی جریان مذکور، حداقل ریز سختی برابر با  $1750$  ویکرز و حداقل اندازه دانه کریستالی نیکل برابر با  $27$  نانومتر حاصل گردید. با کاهش چگالی جریان، پوشش از مورفولوژی صاف تر و پیوستگی و اتصال مناسب تری برخوردار است.

نتایج حاصل از ریزسختی سنجی و تخمین اندازه دانه پوشش های اعمال شده بر روی زیرلایه فولادی در جدول ۴ ارائه شده است. براساس نتایج این جدول مشخص می گردد که بیشترین ریزسختی در شرایطی که چگالی جریان  $40 \text{ mA/Cm}^2$  باشد، حاصل می شود. با توجه به اینکه میزان رسوب کاربید مضاعف در چگالی جریان  $40 \text{ mA/Cm}^2$ ، دارای بیشترین مقدار است، نانو ذرات پراکنده شده در زمینه مانعی در برابر حرکت نابجایی ها و جریان پلاستیک ماده بوده که این امر منجر به افزایش ریز سختی در چگالی جریان مذکور می باشد [۱۴]. همچنین در چگالی جریان  $40 \text{ mA/Cm}^2$ ، اندازه دانه کریستالی نیکل کمترین مقدار است. در چگالی جریان های کمتر از  $40 \text{ mA/Cm}^2$ ، سرعت رسوب نیکل بر روی زیر لایه کمتر بوده و این امر منجر به رشد دانه های کریستالی نیکل می شود [۱۳]، در حالی که در چگالی جریان های بالاتر از  $40 \text{ mA/Cm}^2$ ، اندازه دانه کریستالی نیکل افزایش یافته است. قاعده ای با کاهش چگالی جریان، سرعت جوانه زنی بیشتر از سرعت رشد رسوب بوده و لذا ساختار ریز دانه تر می گردد. اما در بعضی موارد، افزایش چگالی جریان پوشش دهنده و یا کاهش مقاومت انتقال بار، باعث افزایش نفوذ سطحی یون های جذب سطحی شده و درنتیجه باعث جلوگیری از جذب گونه های الکتروشیمیایی بر روی محل های فعال رشد شده و درشت تر شدن اندازه دانه های رسوب

### منابع

1. A. M. U. Erb, A. M. El-Sherik, G. Palumbo, K. T. Aust, "Synthesis structure and properties of electroplated nanocrystalline materials", *Nanostructured materials* (1993) 383-390.
2. F. Ebrahimi, L. Hongqi, M. Scripta, "Grain growth in electrodeposited nanocrystalline FCC Ni-Fe alloys" (2006) 263.
3. Th.Lampk, A.Leopold, "Correlation between structure and corrosion behavior of nickel dispersion coatings containing ceramic particles of different size", *surface and coatings technology*, (2006).
4. M.Pushpavanam, G. Varadajan, "Composite Coatings", *Electroplating and metal finishing*, 10-15, (1974).
5. M. Surender, R. Balasubramanian, B. Basu," Electrochemical behavior of electrodeposited Ni-WC composite" *coatings surface and coating technology* ( 2004) 93-97.
6. R. Mishra, R. Balasubramaniam,"Effect of nanocrystalline grain size on the electrochemical and corrosion behavior of nickel", *corrosion science*, 46 (2004) 3019-3029.
7. R.C. Tucker," Thermal spray coating ", *ASM Handbook*, 5 (1994) 497-509.
8. D.M. Mattox, "Physical vapor deposition coating processes ", *ASM Handbook*, 5 (1994) 538-555.
9. L.P. Wang, Y. Gao, T. Xu, X. Qunji," A comparative study on the tribological behavior of nanocrystalline nickel and cobalt coatings correlated with grain size and phase structure ", *Materials chemistry and physics* (2006) 96-103.
10. D. Rieke, "Magnetice properties of nanostructured materials, *Chemical materials*", 8 (1996) 1770-1783.
11. F. Ebrahimi, Z. Ahmed, "The effect of current density on properties of electrodeposited nanocrystalline nickel", *Journal of applied electrochemistry*, 33 (2003) 733-739.
12. K. A. "Mechanical properties of nostructured materials", *Materials science and engineering*, 304 (2001) 200-205.
13. V.B. Singh, "Electrodeposition and characterization of Ni-TiC composite using N-methylformamide bath", *Materials Science and Engineering A*, 532 (2012) 493– 499.
14. G. N. K. Ramesh Bapu, "Electrocodeposition and characterization of nickel-titanium carbide composites", *Surface and Coatings Technology*, 67 (1994) 105-110.